

补充数据

三株大兴安岭森林凋落物真菌中次生代谢产物及其 抗菌活性研究

甄锦程¹, 司璐¹, 于洪佳¹,
都婷婷¹, 刘瑶¹, 单体江², 徐利剑^{1*}

¹黑龙江大学现代农业与生态环境学院, 哈尔滨 150080; ²华南农业大学林学与风景园林学院, 广州 510642

目录

图 1 化合物 1 的 ¹H NMR (400 MHz, CDCl₃) 图谱

图 2 化合物 1 的 ¹³C NMR (100 MHz, CDCl₃) 图谱

图 3 化合物 1 的 ¹H-¹H COSY 图谱

图 4 化合物 1 的 HMBC 图谱

图 5 化合物 1 的 HSQC 图谱

图 6 化合物 1 的 HR-ESI-MS 图谱

图 7 化合物 2 的 ¹H NMR (400 MHz, CDCl₃) 图谱

图 8 化合物 2 的 ¹³C NMR (100 MHz, CDCl₃) 图谱

图 9 化合物 2 的 ¹H-¹H COSY 图谱

图 10 化合物 2 的 HMBC 图谱

图 11 化合物 2 的 HSQC 图谱

图 12 化合物 2 的 HR-ESI-MS 图谱

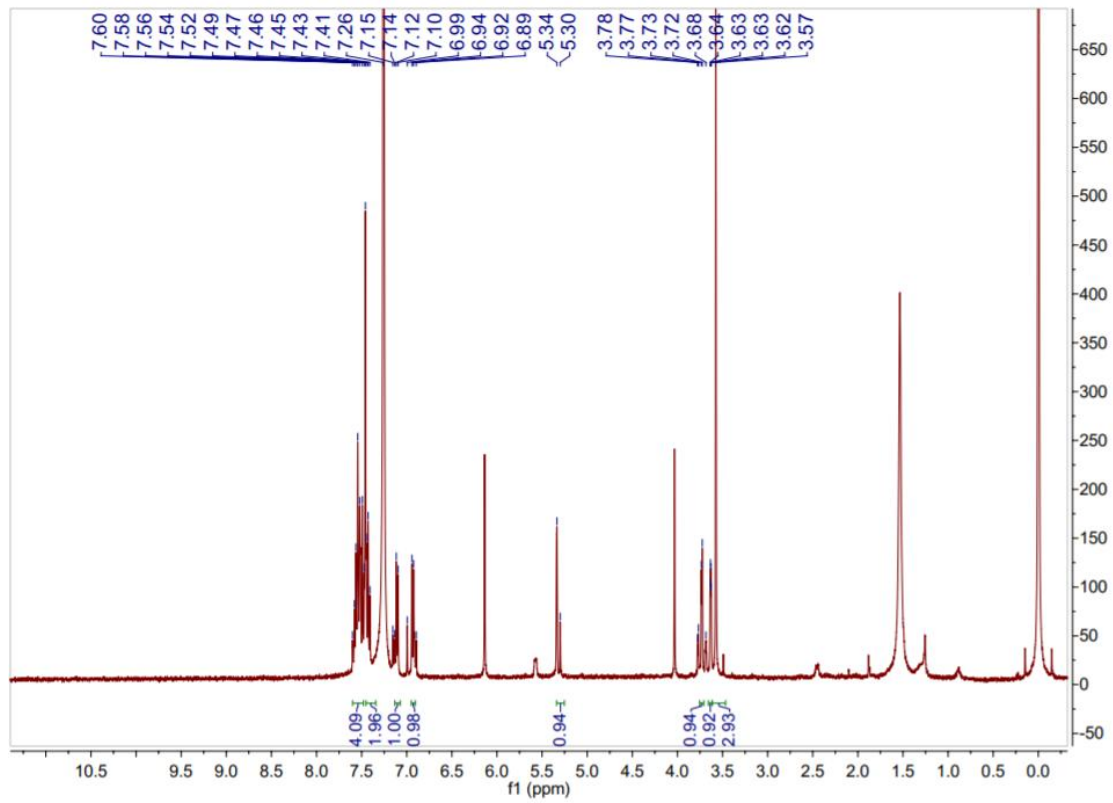


图1 化合物 1 的 ^1H NMR (400 MHz, CDCl_3) 图谱

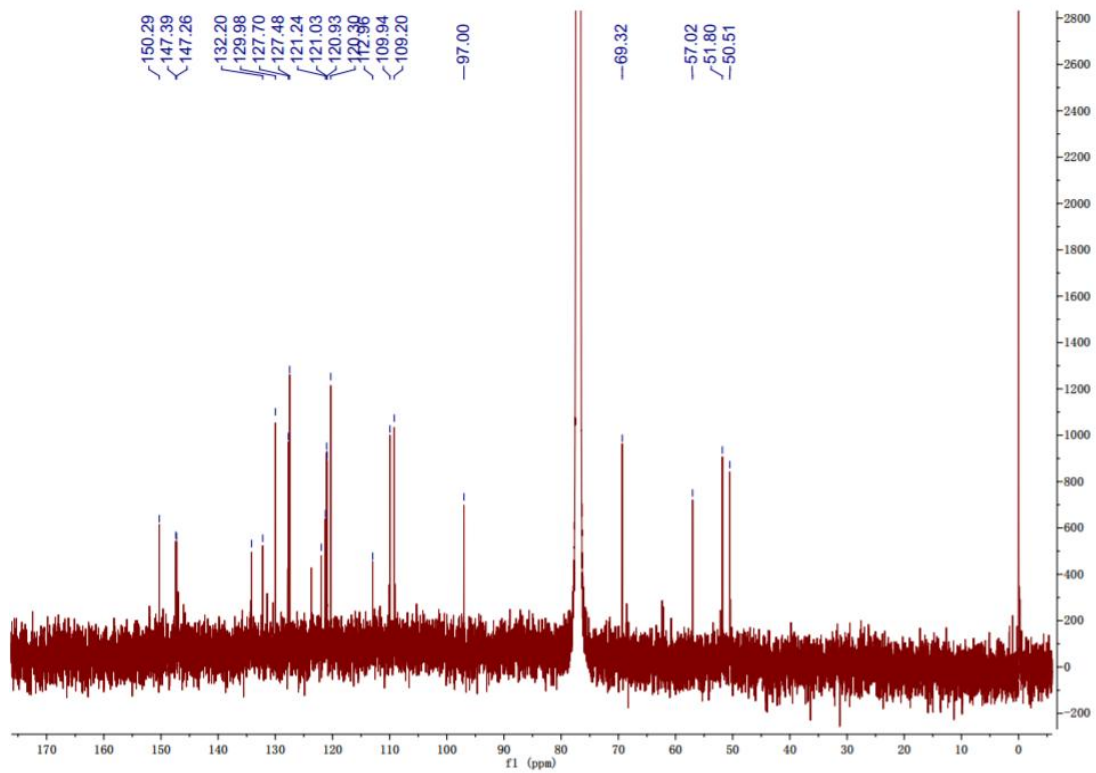


图2 化合物 1 的 ^{13}C NMR (100 MHz, CDCl_3) 图谱

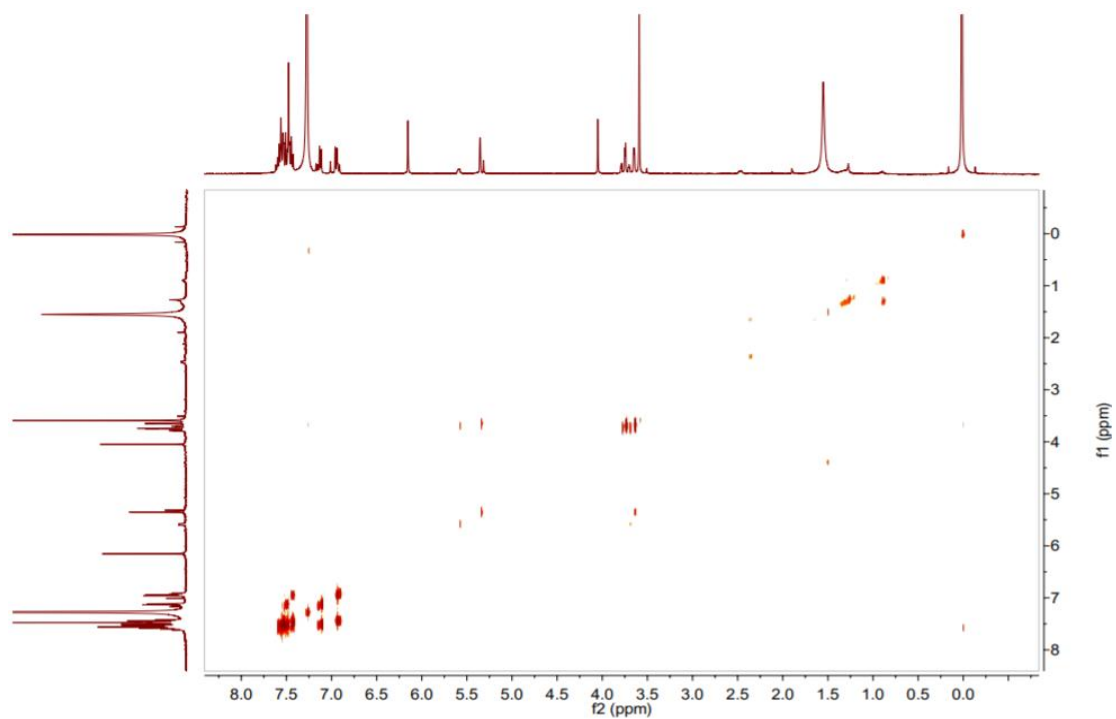


图 3 化合物 1 的 ^1H - ^1H COSY 图谱

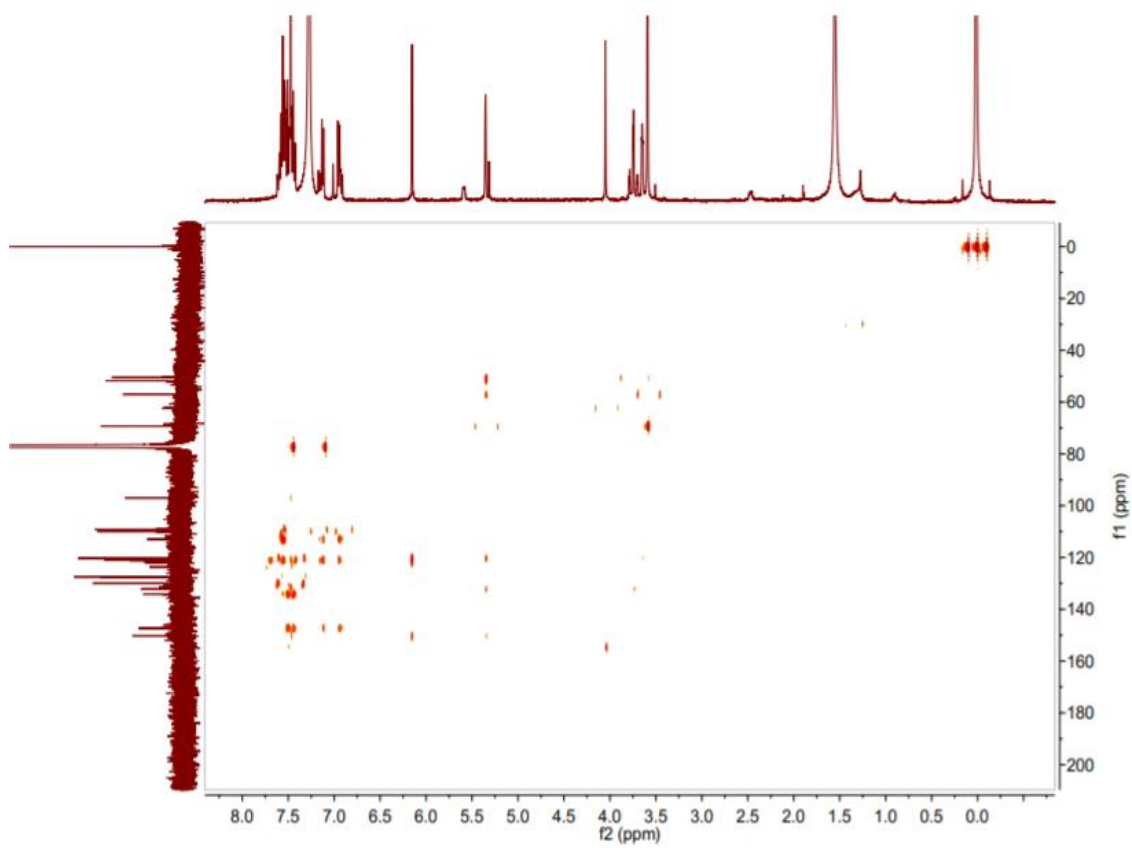


图 4 化合物 1 的 HMBC 图谱

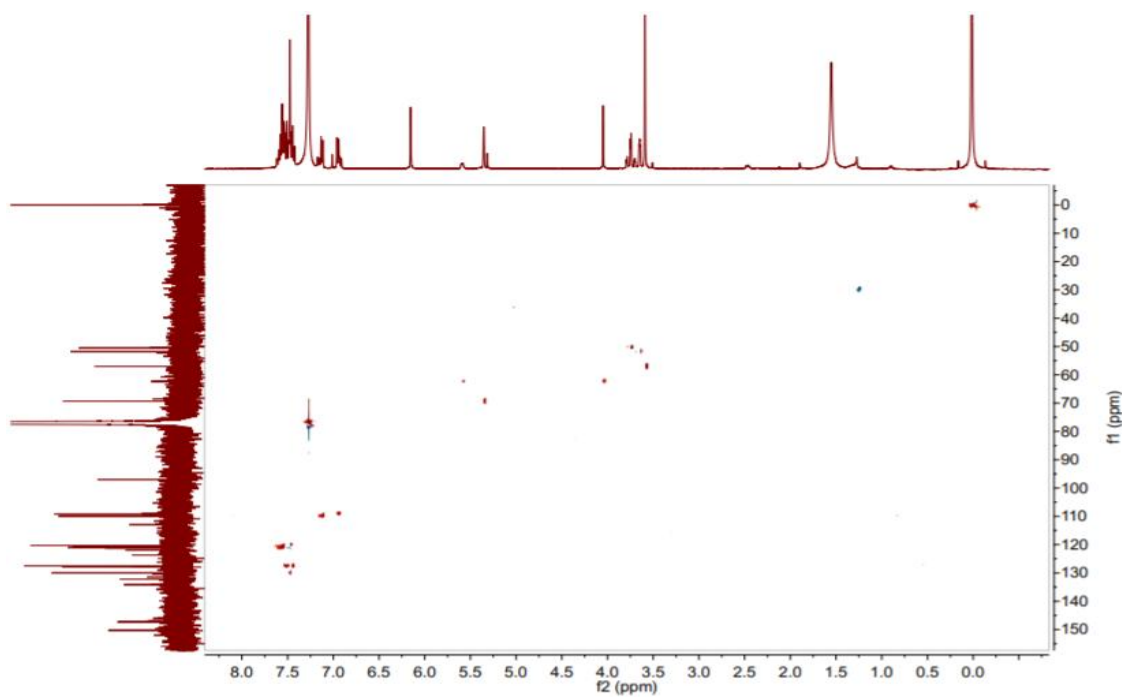


图 5 化合物 1 的 HSQC 图谱

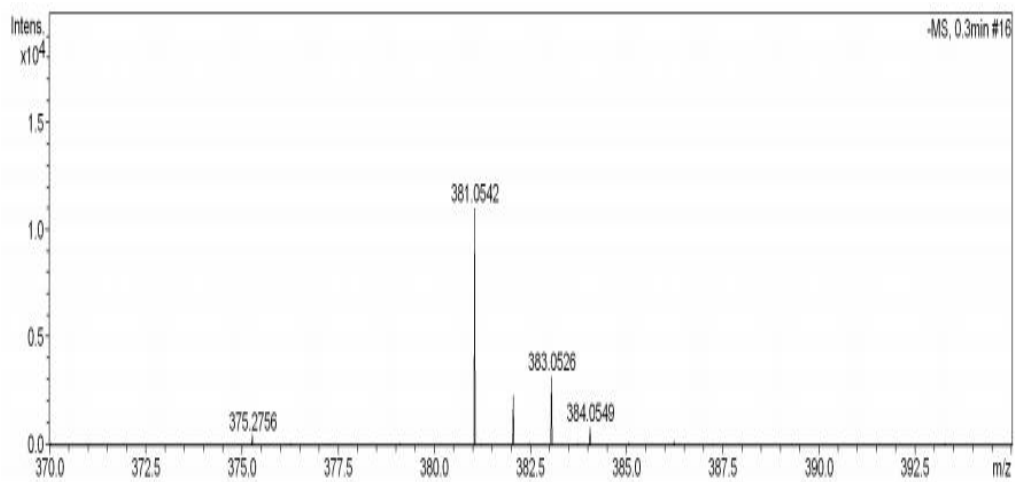


图 6 化合物 1 的 HR-ESI-MS 图谱

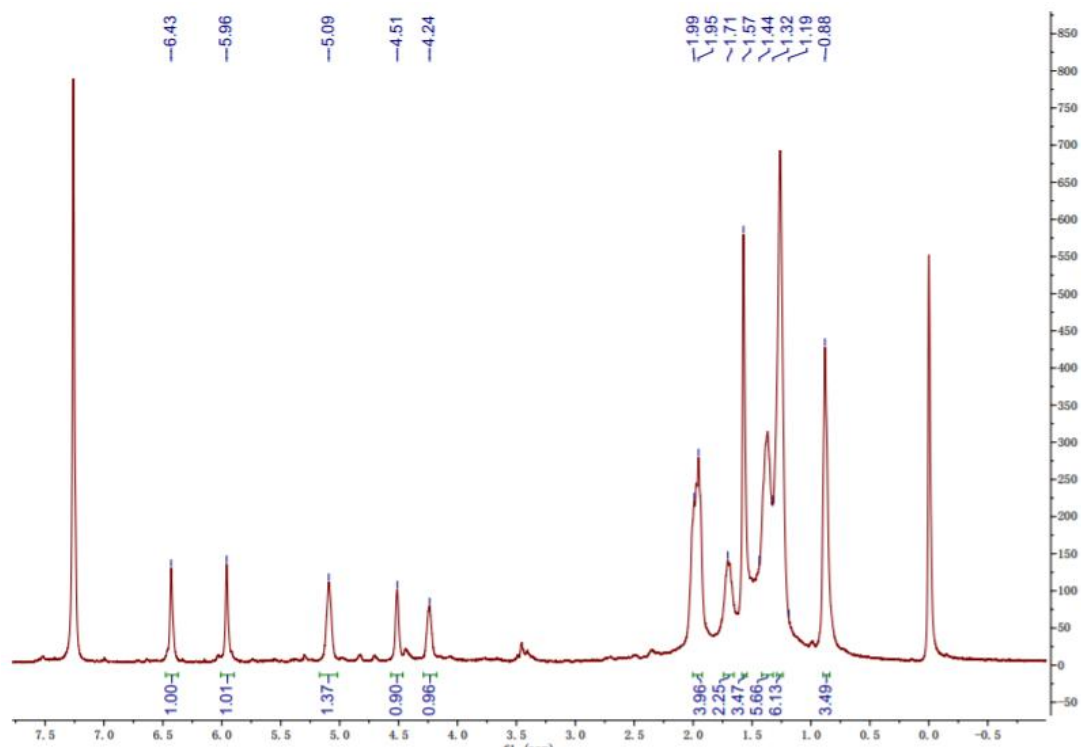


图 7 化合物 2 的 ^1H NMR (400 MHz, CDCl_3) 图谱

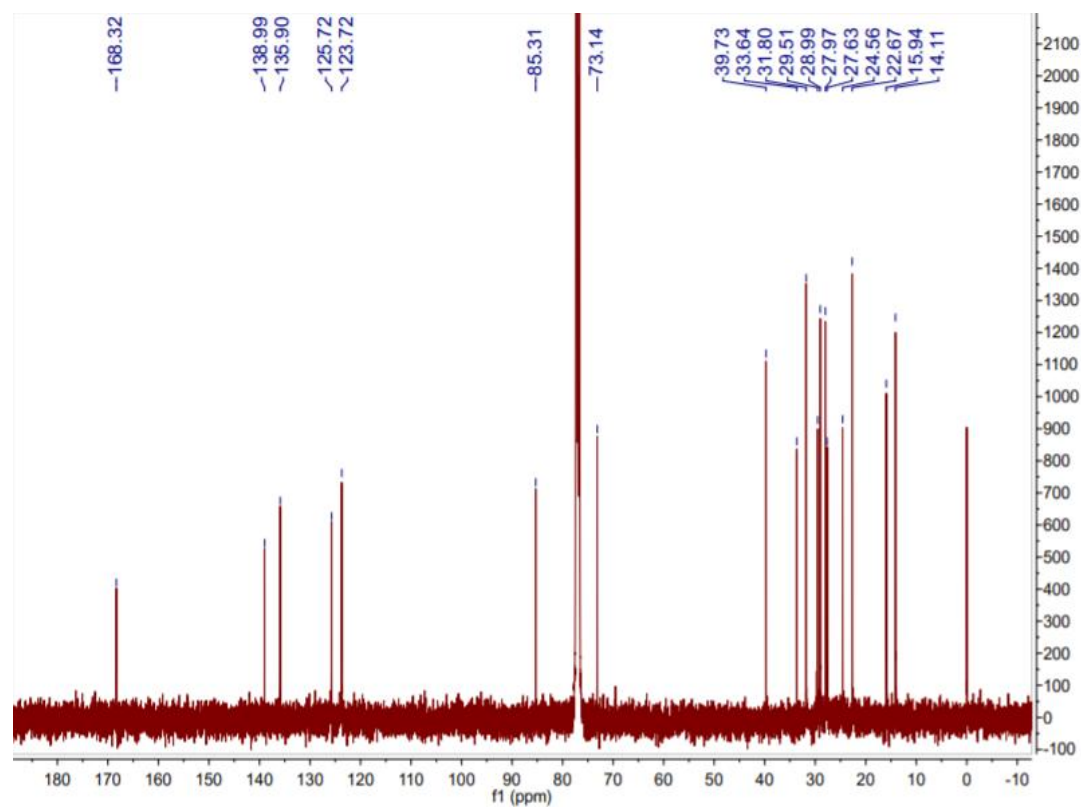


图 8 化合物 2 的 ^{13}C NMR (100 MHz, CDCl_3) 图谱

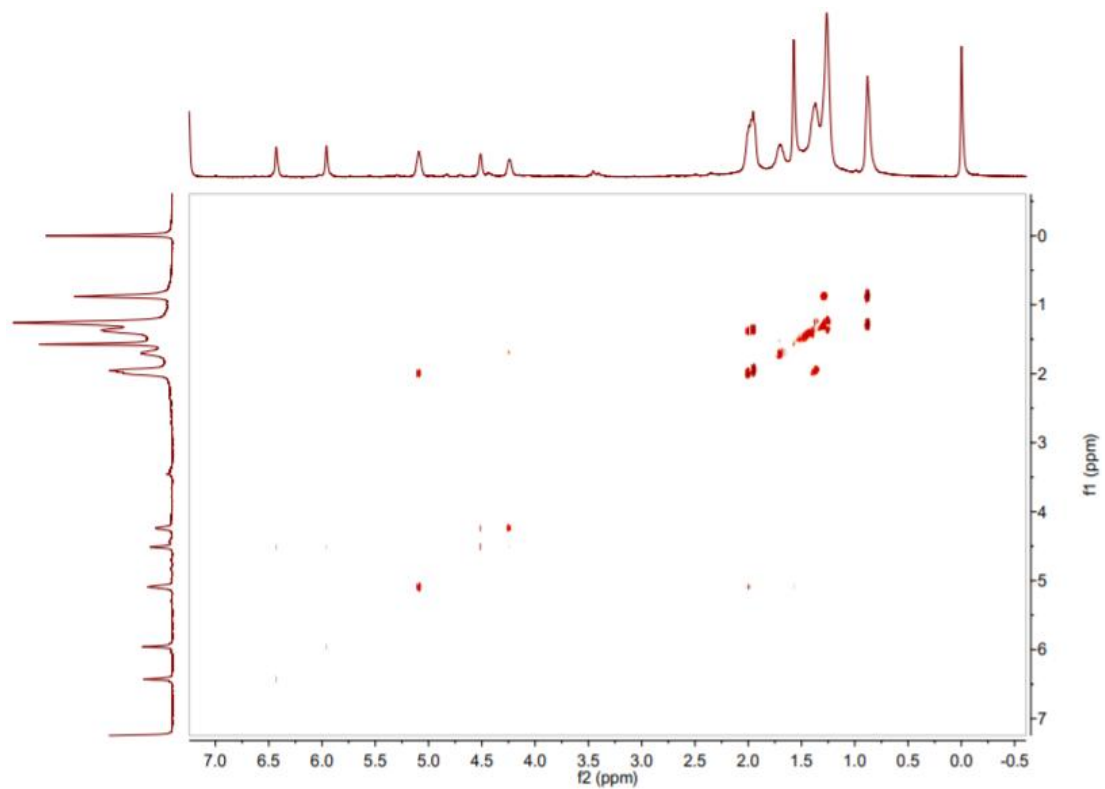


图 9 化合物 2 的 ^1H - ^1H COSY 图谱

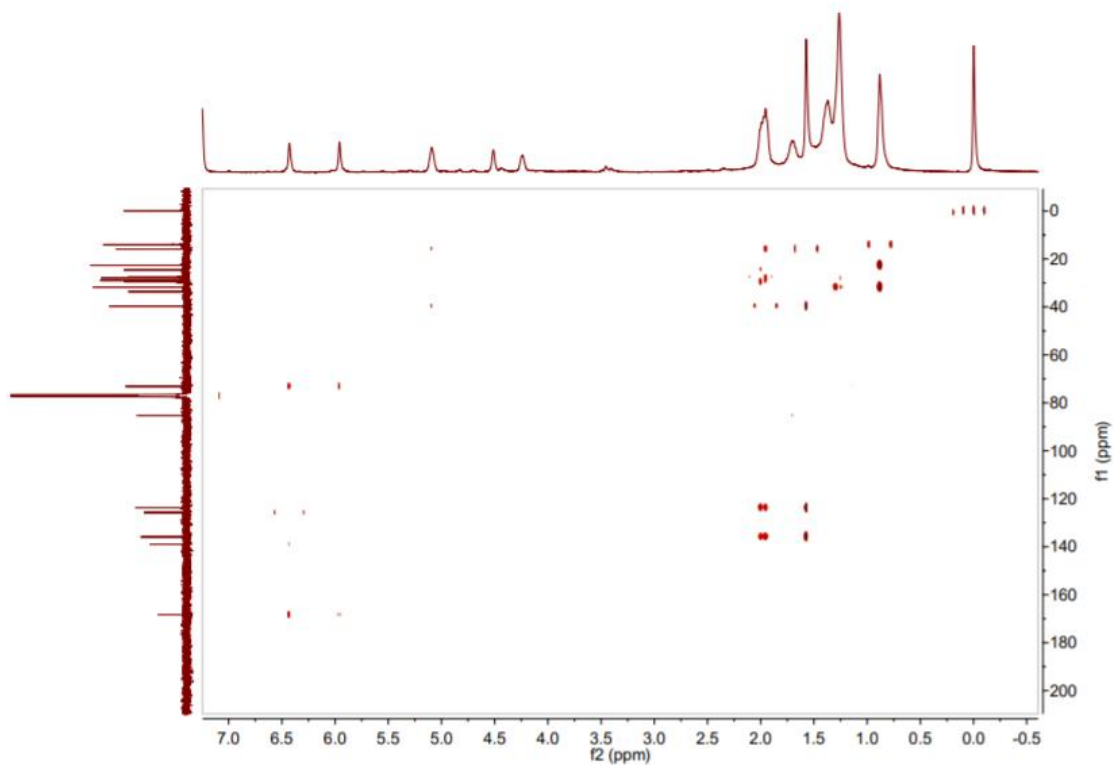


图 10 化合物 2 的 HMBC 图谱

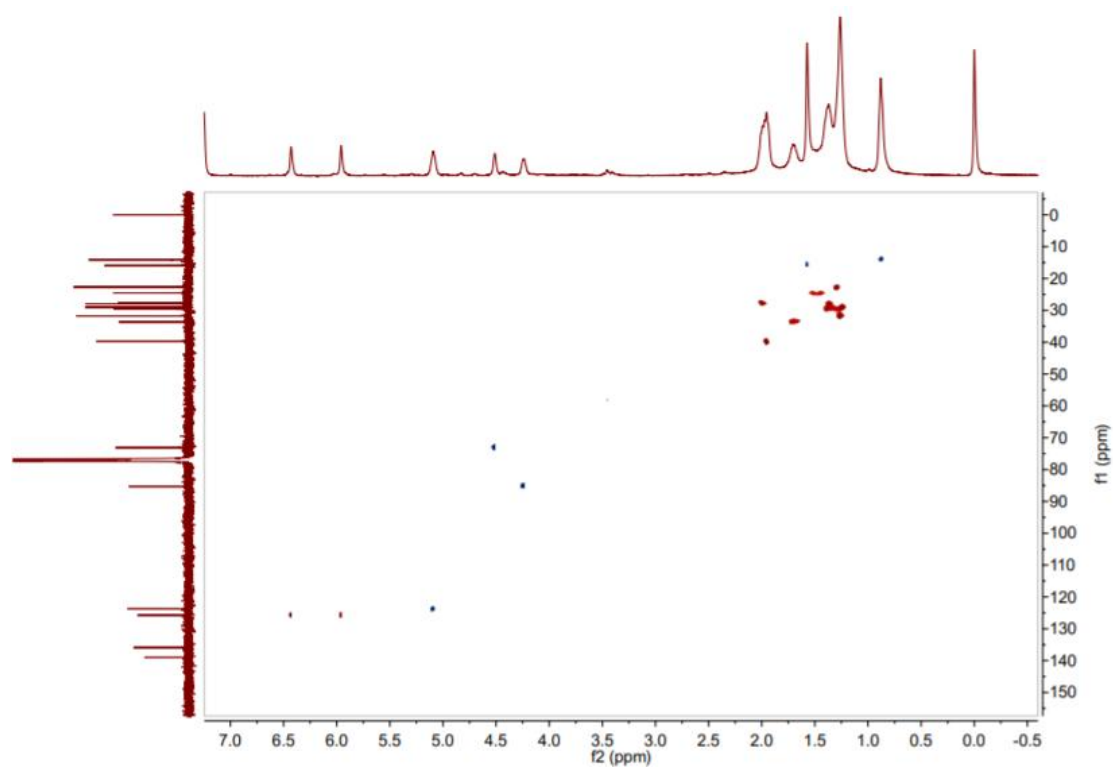


图 11 化合物 2 的 HSQC 图谱

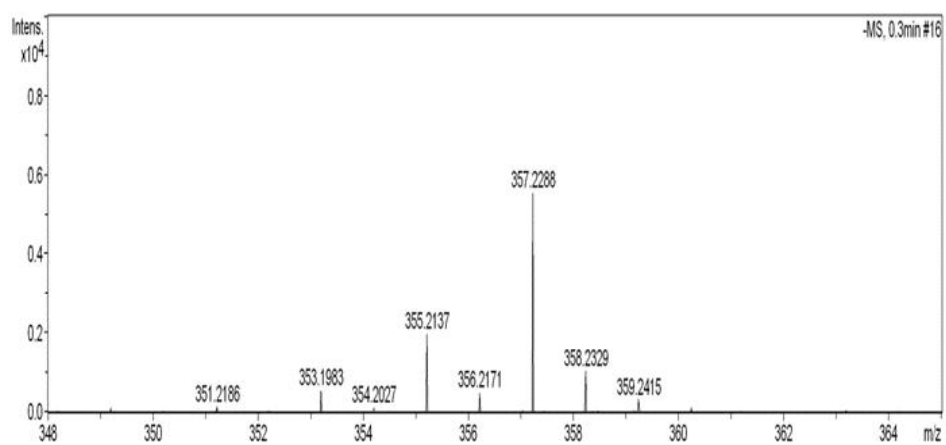


图 12 化合物 2 的 HR-ESI-MS 图谱